

東京大学工学部 正会員 堀川清司
同上 同上 水口 優

§1. はじめに.

室内実験において、入射波の周期の2倍の周期をもつストークス・モードのエッジ波を観測し、その時の流山の状況も調べたので報告する。実験には、長さ600cm、幅120cmの平面水槽を用いた。斜面は、厚ベニヤ板製の四角床で、勾配1/2である。斜面前面の一端水際の梁は、ほぼ10cmである。

§2. ストークス・モードのエッジ波について.

一様斜面上を汀線方向に進行する微小振幅のポテンシャル波としてのエッジ波は、UrSELL により一般的に求められている。その第n次モードでもあるストークス・モードの分散関係及び波形は、次のように示す。

$$\omega^2 = gR \sin \alpha \quad (1)$$

$$\eta \propto \cos R \sin \alpha e^{-R x \cos \alpha} \quad (2)$$

ここで、 x 、 R は、それぞれ、汀線より沖合方向及び汀線方向の座標で、汀線方向には重畳波を考慮している。すなわち、エッジ波の波長 Le は、その周期 T_e より、 $Le = \frac{gT_e^2}{2\pi} \sin \alpha$ と与えられる。^{*}

§3. 観測結果

入射波の2倍の周期のエッジ波を観測したケースを表-1に示す。これ以外に、周期として、0.4及び0.5sec.の波高としても、沖波波高の大きい場合の実験も試みたが、いずれも倍周期のエッジ波は見られなかった。また、表-1のケースと同条件でも、倍周期のエッジ波が、いつも発生するとは限らなかった。

具体的な例として、ケース68と87をとりあげる。図-1は、ケース68の汀線付近での波峰線(または、Run-up 前面)と梁の動きを、ビデオカメラを用いて読み取ったものである。波をあげ始めて、ある程度の時間が経過した後、かなり急激に汀線方向の波高が成長したおとの状況である。一度発生したエッジ波は、多少の波高変動を除き安定している。図-2は、容量計波高計により測定した記録から、倍周期の成分を分離したものである。図中の実線は、図-1から汀線での水平方向の変動の振幅を11.6cmと読み、波高として2.3cmとなり、式(2)を考慮したものである。汀線方向の位置の差は、両面の都合もあって、議論しない。

短周期の実験であるが、表面張力 T_s を考慮した分散関係は、ストークス・モードでは、次のように示す。

$$\omega^2 = (1 + \frac{T_s}{\rho g}) g R \sin \alpha$$

CASE	入射波 周期	沖波 波高の比	反射率	倍周期の 周期 T_e	汀線での 波数の の波数	波数の の Le
67	0.585	1.07%	/	41.9	3	40.0
68	0.612	1.52	/	45.9	2.5	48.0
72	0.687	0.92	/	57.8	2	60.0
79	0.785	0.65	0.30	75.5	2	60.0
87	0.891	0.73	0.26	97.2	1.5	80.0
89	0.890	0.59	0.27	97.0	1.5	80.0

表-1 実験ケース

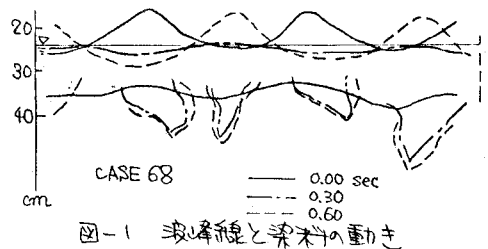


図-1 波峰線と梁の動き

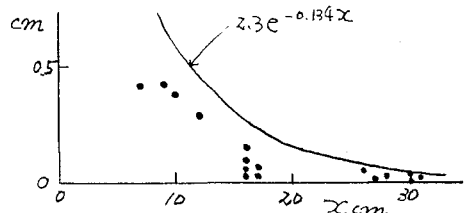


図-2 倍周期成分の振幅

図-3、表-2は、ケース87の波高の動きと、波高計の記録の解析結果である。波高は、同時計測はしており、エッジ波の同一腹内での位相の一致（隣り合う）と位相の反転がみられる。なお、参考までに、図-4に波高計の生の記録を示す。

入射波と同じ周期をもつエッジ波の存在は、簡単に確認（難い）が、Run-upに典型的な周期性が見られる程のものなから、たと言える。

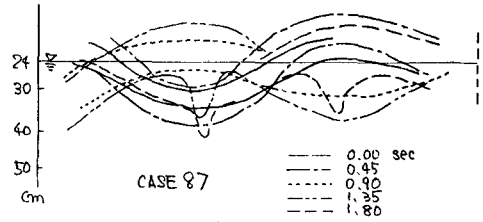


図-3 波高の動き

測点		入射波周期		倍周期	
X	Y	振幅	位相	振幅	位相
12.4 _{cm}	25.0 _{cm}	14.0 _{cm}	-0.62 _{rad}	3.0 _{cm}	-1.56 _{rad}
32.0	25.0	8.4	-1.35	0.5	-1.41
12.4	7.7	8.4	-1.13	9.0	1.41
32.0	7.7	6.8	-1.41	2.0	1.46

表-2 波形の解析結果

5.4. 結論または考察

上記の観測結果からみて、観測はした江種付近の変動が、入射波の2倍の周期をもつストークス・モードのエッジ波であることは明らかであり、次の事が結論となる。

(i) 勾配が急な斜面において、入射波の波高が小さい時（碎波形が、碎波帯を境として異なる波高と見える）、入射波の2倍の周期をもつストークス・モードのエッジ波が、支障域に発生、成長する。江種付近の波高は、入射波の半波高の幾倍にも達する。

この事実は、Guga & Davis が、入射波が完全反射する場合に、2個のエッジ波と1個の非線形なエネルギー搬送に因子共鳴現象を扱うことになり、入射波の倍周期の第0次（ストークス・モード）のエッジ波が、最も大きな growth rate を示すことを導いた結果を部分的に立証するものである。

(ii) 図-4の例にもあるように、波高計の記録からみるかぎりでは、入射波の2倍の周期という事象が優先し、120cmという両端境界条件による波長の制限は、適宜に調整されている。

(iii) エッジ波が発生した時の江種付近の流況は、エッジ波の腹の部分で沖向きの流況が存在するという109-2となる。この流況は、波動としての水粒子運動が打ち上げ方向にたかう位相であるから、逆位相時は、全体としての水粒子運動となる。それは、エッジ波による重複波の質量輸送と考えられる。

5.4. おわりに

最後に、エッジ波は、碎波帯付近の流況を説明する一つの鍵として注目されているが、今回の実験からは、その江種における波高の大きさと流況の規模の関係や流況の物理的な性質を考えると、エッジ波から一方的に流況を説明するという考え方は、現在までの現地観測の結果を説明することはできると結論される。また、今回の実験においては、流況における波高の歪みも全く見られなかった。

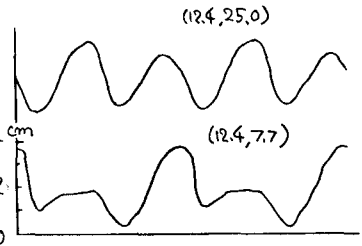


図-4 波高計の記録例

参考文献

- (1) Ursell, F. Proc. Roy. Soc. London, A. 214, pp. 79-97.
- (2) Guga, R.T. & Davis, R.E. J.G.R., vol. 79, No. 9, pp. 1285-1291.
- (3) Bowen, A.J. & Inman, D.L. J.G.R., vol. 74, No. 23, pp. 5479-5490.